

Beijing Forest Studio
北京理工大学信息系统及安全对抗实验中心



程序崩溃的故障定位方法

硕士研究生 王怡男

2025年01月12日



- 相关内容

- 九尾狐
- 2024.06.30 赵智洋《程序崩溃的根本原因分析技术》
- 2022.10.30 孔令迪《函数级漏洞检测》



- 预期收获
- 题目内涵解析
- 研究背景与意义
- 研究历史与现状
- 知识基础
- 算法原理
 - ARCUS
 - BENZENE
- 特点总结与工作展望
- 参考文献



- 预期收获
 - 1. 了解故障定位的基本概念和定位方法分类
 - 2. 理解统计调试在故障定位中的原理及应用
 - 3. 理解符号执行在故障定位中的原理及应用



- 程序崩溃（Program Crash）

- 程序在运行时由于未预料到的异常情况而终止

- 常见原因

- 内存错误：缓冲区溢出、Use After Free
- 算术错误：整数溢出、除0错误
- 逻辑错误：代码分支遗漏

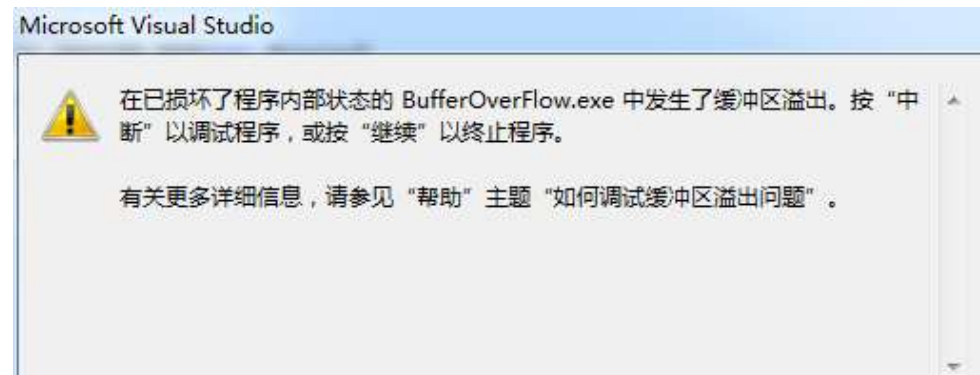
- 重要概念

- 崩溃输入：触发程序崩溃的输入
- 非崩溃输入：使程序正确运行的输入

- 故障定位（Fault Localization）

- 在程序崩溃后，分析崩溃原因、确定导致崩溃的具体代码或程序状态

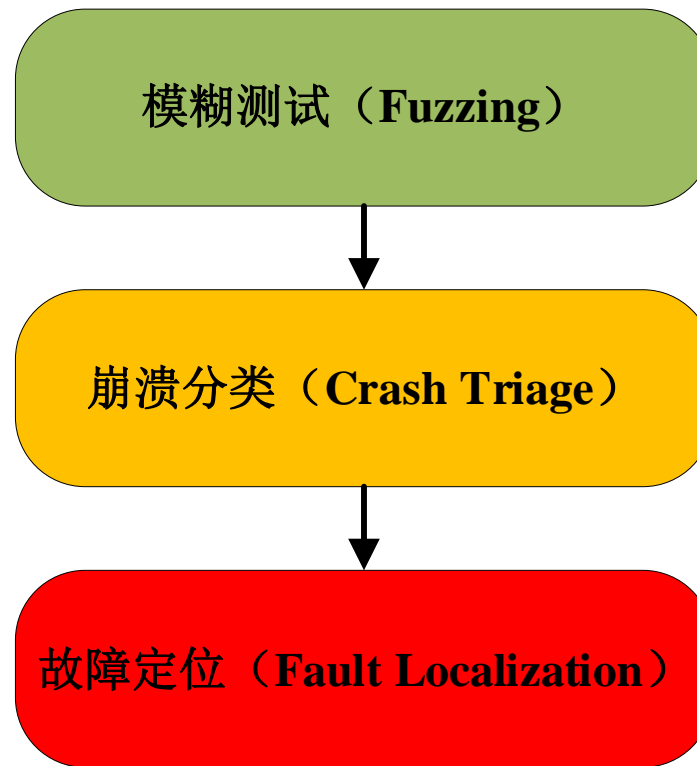
- 根据崩溃输入，找到程序中存在缺陷的位置，并为修复问题提供依据



```
Traceback (most recent call last):  
  File "D:\test.py", line 4, in <module>  
    result = numerator / denominator  
ZeroDivisionError: division by zero
```



- 模糊测试：漏洞发现的**起点**
 - 通过**随机生成或变异**输入数据，触发程序的异常行为，发现潜在漏洞
 - 只能发现程序崩溃，但不能解释**为什么**崩溃
- 崩溃分类：**桥接**模糊测试和故障定位
 - 对模糊测试发现的崩溃进行分类和整理
 - 从产生的**重复**崩溃输入中，筛选、归类崩溃
- 故障定位：从现象到**根因**
 - 精确定位触发崩溃的代码或条件
 - **崩溃点**：编译器或解释器抛出异常的位置
 - **根因点**：导致崩溃的**真正原因**所在的代码位置



```
void process_array(int *arr, int size){  
    for (int i = 0; i <= size; i++){ //根因点  
        arr[i] = i * 2; //崩溃点  
    }  
}
```



- 研究背景

- 信息技术飞速发展，从手机APP崩溃到关键工业系统异常，软件崩溃**广泛存在且难以避免**
- 大型软件项目的崩溃涉及**代码量巨大**，定位复杂性几何级增长，难以手动定位根因点

- 研究意义

- 维护关键信息系统的**稳定性**
 - 对航空航天、金融交易、医疗设备等领域的关键信息系统安全至关重要
 - 快速定位问题、解决问题，**减少崩溃停机时间**
- 改善用户体验





基于统计调试

Nainar等人通过添加由简单谓词派生的复杂布尔公式，丰富了谓词的词汇表，并证明了**复杂谓词**的可行性及精准性

Kairux：将一次执行建模为一组完全有序的指令序列，通过找出崩溃执行与非崩溃执行之间最长的指令序列前缀的**分歧点**进行故障定位

AURORA：通过一个单一的崩溃输入，生成**一组多样化的崩溃输入**和**非崩溃输入**，跟踪程序状态后对得到的谓词进行统计分析，识别出故障定位的关键谓词

RACING：通过**强化学习**技术采样崩溃输入的变异样本，避免偏见采样时的效率低下问题

2007

2019

2021

2024

2011

2019

2021

2024

Chandra等人提出了一种符号执行方法，通过**机械化**地修复错误来搜索程序所有可能的编辑空间进行故障定位

Birch等人改进搜索方法，通过**遍历测试套件**减少了符号执行的工作量，进一步缩小了定位集合的范围

ARCUS：通过符号执行分析程序执行路径中的**数据依赖、控制依赖**关系，结合动态路径约束解决**路径爆炸**问题

BENZENE：通过结合**统计调试**与**符号执行**方法，提出欠约束**状态变异**，直接修改程序的中间状态生成非崩溃行为，提高故障定位成功率并大幅降低开销

基于符号执行



谓词

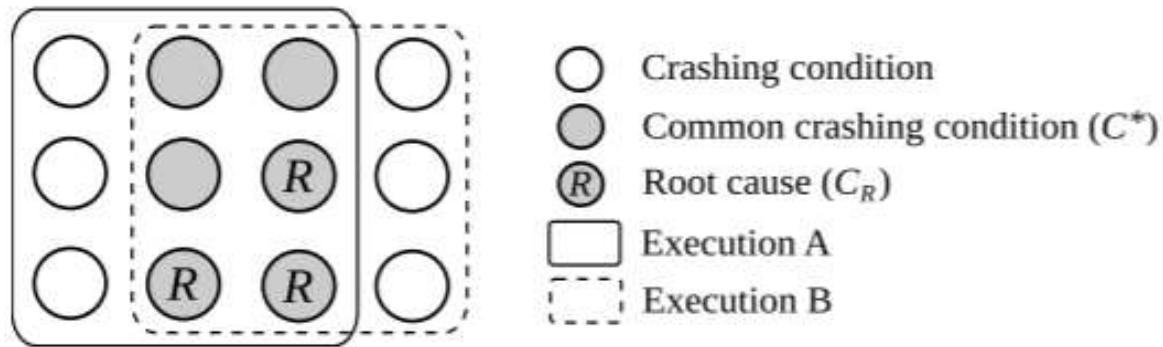
- 谓词 (Predicate)
 - 逻辑表达式，描述程序中某一时刻的布尔条件 (True/False)
 - 程序运行时的“检查点”，记录了某些**关键条件**是否被满足
 - 如果某个谓词在崩溃时未满足，很可能该条件**与崩溃相关**
- 谓词与崩溃条件
 - 崩溃条件是导致程序崩溃的逻辑约束，因此可以**用谓词表示**
 - 在崩溃输入和非崩溃输入之间，一些谓词的**真假变化**会揭示关键问题

序号	表达式
E ₂₃	$(\exists x)(A(x) \vee B(x)) \Leftrightarrow (\exists x)A(x) \vee (\exists x)B(x)$
E ₂₄	$(\forall x) (A(x) \wedge B(x)) \Leftrightarrow (\forall x) A(x) \wedge (\forall x)B(x)$
E ₂₅	$\neg(\exists x) A(x) \Leftrightarrow (\forall x)\neg A(x)$
E ₂₆	$\neg(\forall x)A(x) \Leftrightarrow (\exists x)\neg A(x)$
E ₂₇	$(\forall x) (A \vee B(x)) \Leftrightarrow A \vee (\forall x)B(x)$
E ₂₈	$(\exists x)(A \wedge B(x)) \Leftrightarrow A \wedge (\exists x)B(x)$
E ₂₉	$(\exists x)(A(x) \rightarrow B(x)) \Leftrightarrow (\forall x) A(x) \rightarrow (\exists x)B(x)$
E ₃₀	$(\forall x)A(x) \rightarrow B \Leftrightarrow (\exists x)(A(x) \rightarrow B)$
E ₃₁	$(\exists x)A(x) \rightarrow B \Leftrightarrow (\forall x)(A(x) \rightarrow B)$
E ₃₂	$A \rightarrow (\forall x) B(x) \Leftrightarrow (\forall x)(A \rightarrow B(x))$
E ₃₃	$A \rightarrow (\exists x) B(x) \Leftrightarrow (\exists x) (A \rightarrow B(x))$
I ₁₇	$(\forall x) A(x) \vee (\forall x) B(x) \Rightarrow (\forall x)(A(x) \vee B(x))$
I ₁₈	$(\exists x)(A(x) \wedge B(x)) \Rightarrow (\exists x) A(x) \wedge (\exists x) B(x)$
I ₁₉	$(\exists x)A(x) \rightarrow (\forall x) B(x) \Rightarrow (\forall x)(A(x) \rightarrow B(x))$



统计模型

- 统计调试
 - 通过统计分析崩溃行为与非崩溃行为的**差异**来定位故障的技术
 - 依赖程序运行的覆盖信息和行为特征，通过统计模型计算**代码段与崩溃的关联度**
- 一个引理的推导
 - 将每个谓词 p_i 设置为二进制位1或0
 - 每个崩溃条件 C_i 表示为一个位向量，例如 $C_1=1110$ ， $C_2=1011$
 - 对 C_1 和 C_2 **按位与**，得到**通用崩溃条件 C^***
 - 若定义**根本崩溃条件 C_R** 是导致崩溃的**最小必要条件**
 - 则**根本崩溃条件 C_R** 必须包含于**通用崩溃条件 C^***





• 符号执行

- 一种程序分析技术，通过用符号变量代替具体值来分析程序行为，推导程序的逻辑路径和状态条件
- 在故障定位中，符号分析可用于精确描述导致崩溃的条件（谓词）并回溯到根因点

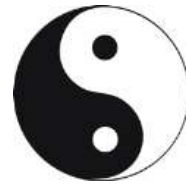
– 核心原理

- 符号化输入：将程序输入表示为符号变量
- 路径条件生成：程序执行时，根据分支条件记录路径约束
- 约束求解：使用求解器对路径条件进行求解，生成特定输入或检查条件是否满足
- 之后，分析崩溃点的路径条件，并回溯相关变量或逻辑条件，定位导致崩溃的根因

```
void process(int x){  
    if(x > 10){ //条件: x > 10  
        crash(); //崩溃点  
    }  
}
```

约束求解器给出 $x=11$ 触发崩溃

崩溃条件 $x>10$ 是导致崩溃的逻辑错误



ARCUS: Symbolic Root Cause Analysis of Exploits in Production Systems



TIPO

T	目标	实现程序崩溃的故障定位
I	输入	1个 崩溃快照 、控制流追踪数据、1个二进制程序、1个崩溃输入
P	处理	1. Intel PT进行 硬件级别 的高效控制流追踪 2. 通过 符号执行 分析程序执行路径中的数据依赖关系，定位导致崩溃的状态 3. 在崩溃点之前，通过 控制依赖关系 和 动态路径约束 分析定位根因
O	输出	触发崩溃的故障代码、修复建议

P	问题	符号执行在路径分析中容易产生路径爆炸
C	条件	仅覆盖特定漏洞类别
D	难点	路径追踪数据的还原；修复点选择
L	水平	SENIX Security Symposium, 2021(CCF A)

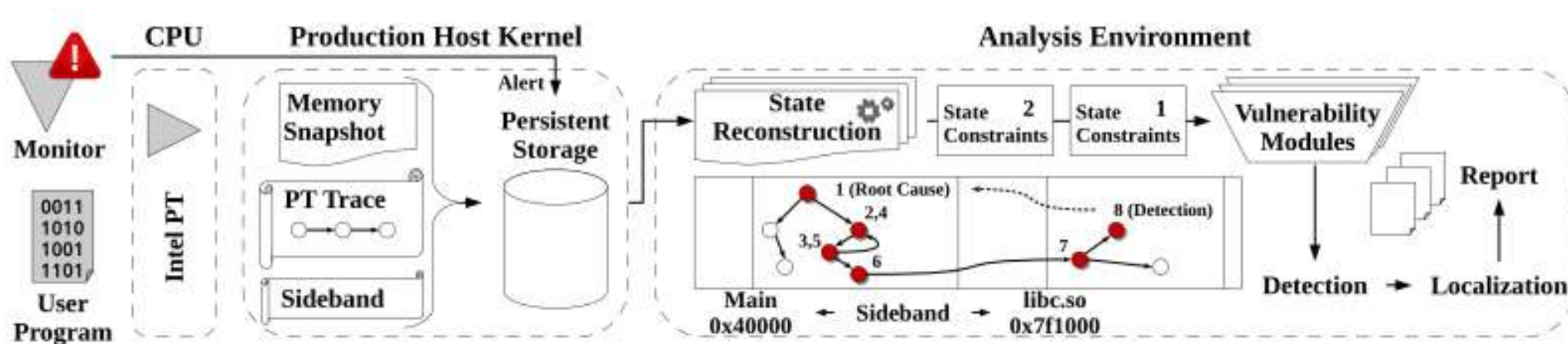
- ARCUS

- 离线崩溃分析

- 直接利用硬件级PT数据，还原崩溃前完整的执行路径，避免对生产环境产生影响，降低性能开销

- What If Questions

- 提出假设路径，测试替代约束下程序是否仍然崩溃





控制流追踪与重建

- 控制流追踪

- Intel PT: 一种硬件支持的控制流跟踪工具

- 记录分支指令的执行信息
 - 记录间接跳转、函数调用和返回的目标地址
 - 为了优化性能, 不记录数据流

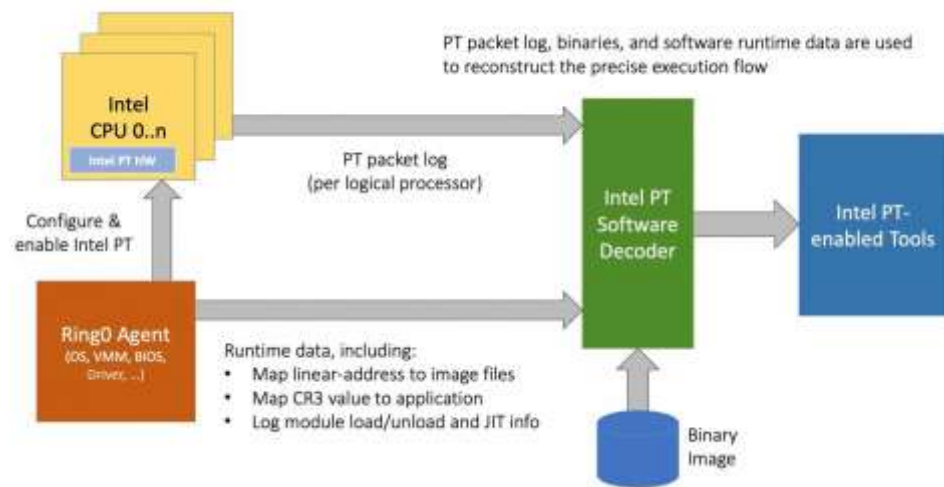
- 快照捕获

- 程序崩溃时, 捕获寄存器状态、堆栈布局和动态分配对象的位置

- 控制流重建

- 利用PT数据中的分支记录和快照, 还原程序从启动到崩溃点的执行路径

- 重建的控制流路径为符号化执行提供准确的路径约束, 避免不必要的路径分叉导致的路径爆炸问题

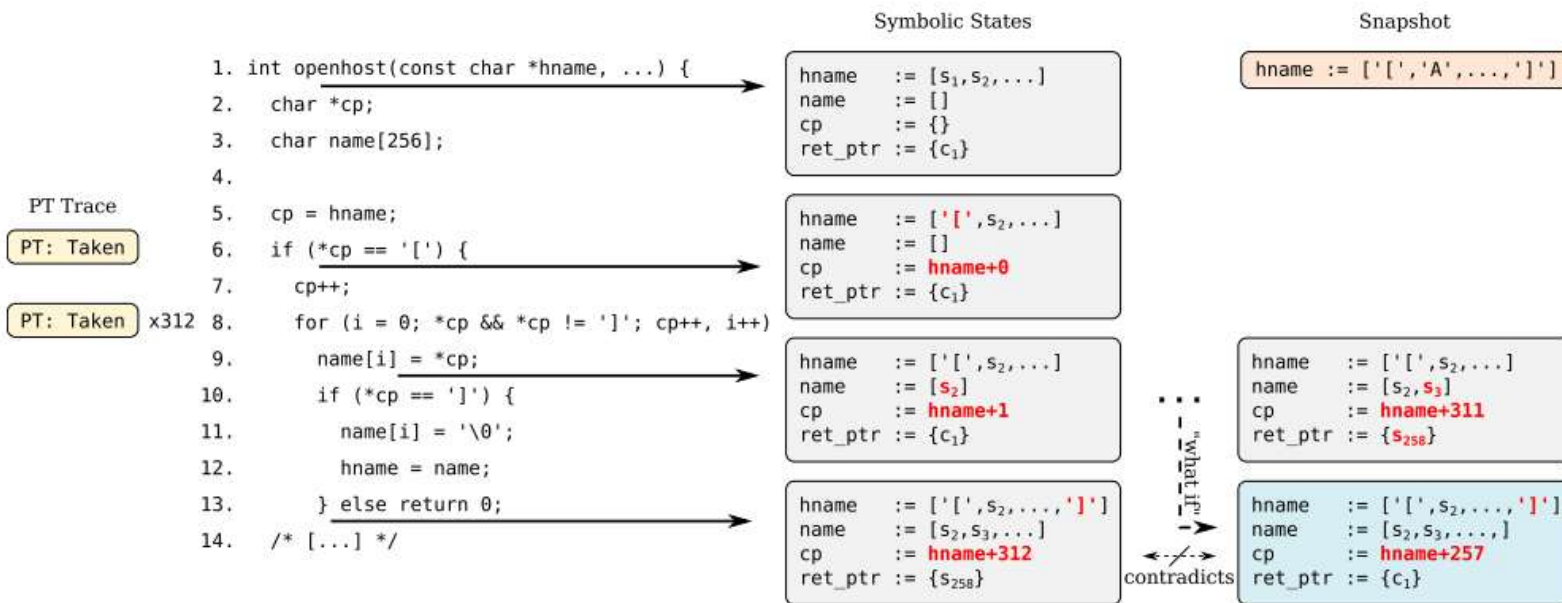




- 符号化初始状态
 - 使用崩溃快照中的数据作为**初始状态**；将输入**符号化**，表示为符号变量
- 动态路径约束
 - 结合控制流重建的路径信息，只符号化**实际执行的路径**，而非所有可能路径

- 污点分析
 - 识别导致崩溃状态的**数据依赖**

- What If
 - 通过假设路径分析和动态路径约束验证**不同输入**条件下的行为





• 回溯根因状态

- 使用污点分析回溯导致崩溃的符号变量或输入数据
- 定位数据第一次被错误写入的位置，即根因状态
- 对**6种**常见漏洞给出基于**领域专业知识**的分析策略及根因分类

漏洞类别	定位策略	根因分类
栈溢出Stack Overflow	符号化程序计数器	控制依赖
堆溢出Heap Overflow	符号化程序计数器	控制依赖
整数溢出Integer Overflow	溢出寄存器/内存	溢出发生的具体位置
释放后重用Use After Free	读取/写入被释放的地址	控制依赖
双重释放Double Free	追踪释放操作	控制依赖
格式化字符串Format String	符号化参数	数据依赖

• 守护点

- 定位**最接近**崩溃点的修复点，验证是否可以通过**增加约束**防止崩溃



数据资源

- 数据资源
 - 从LinuxFlaw和Exploit-DB中选择27个真实漏洞
- 评估标准
 - 使用ARCUS分析漏洞的根本原因，生成修复建议
 - 手动验证建议内容是否与官方漏洞公告的补丁一致，若一致，认为正确定位故障

CVE-2001-0144	push folder and README file for all existing cases
CVE-2001-0550	add poc for CVE-2001-0550
CVE-2002-0656	add simple analysis for two CVEs
CVE-2002-1496	add part to modify configuration
CVE-2002-1896	add simple analysis for two CVEs
CVE-2003-0577	add information for vulnerabilities that cannot be reproduce...
CVE-2004-0238	add poc and info for CVE-2004-0238
CVE-2004-0557	add info and pocs for CVE-2004-0557
CVE-2004-0597	modify the github link from blob to raw
CVE-2004-0990	add info and pocs for CVE-2004-0990/CVE-2007-3473
CVE-2004-1120	add information for CVE-2004-1120 EDB-39445 EDB-890
CVE-2004-1255	advanced information for CVE-2004-1255
CVE-2004-1256	add information for vulnerabilities that cannot be reproduce...
CVE-2004-1257	add info and poc for CVE-2004-1257

Date	D	A	V	Title
2024-06-01	↓		×	Akaunting 3.1.8 - Server-Side Template Injection (SSTI)
2024-05-31	↓		×	Check Point Security Gateway - Information Disclosure (Unauthenticated)
2024-05-31	↓		×	Aquatronica Control System 5.1.6 - Information Disclosure
2024-05-31	↓		×	changedetection < 0.45.20 - Remote Code Execution (RCE)
2024-05-31	↓		×	ElkArte Forum 1.1.9 - Remote Code Execution (RCE) (Authenticated)
2024-05-31	↓		×	IMLag < 1.307 - Persistent Cross Site Scripting (XSS)
2024-05-31	↓		×	BWL Advanced FAQ Manager 2.0.3 - Authenticated SQL Injection
2024-05-19	↓		×	htmlLawsd 1.2.5 - Remote Code Execution (RCE)
2024-05-19	↓		×	PopoJCMS 2.0.1 - Remote Command Execution (RCE)
2024-05-19	↓		✓	Backdrop CMS 1.27.1 - Authenticated Remote Command Execution (RCE)
2024-05-19	↓		×	Apache OFBiz 18.12.12 - Directory Traversal
2024-05-19	↓		×	Wordpress Theme XStore 9.3.8 - SQLi
2024-05-19	↓		×	Rocket LMS 1.9 - Persistent Cross Site Scripting (XSS)
2024-05-13	↓		×	Prison Management System - SQL Injection Authentication Bypass
2024-05-13	↓		×	PyroCMS v3.0.1 - Stored XSS



实验结果

- 定位能力

- ARCUS成功定位**27**个漏洞中的**所有**根因

- 报告一致性

- 在**19**个有补丁的漏洞中，ARCUS生成的修复建议与官方补丁完全一致，只有**1**个例外
 - 例外情况的修复是**等价的**

Table 4: System Evaluation for Real-World Vulnerabilities

CVE / EDB	Type	Program	# BBs	Size (MB)	ΔRoot Cause	ΔAlert	Located	Has Patch	Match
CVE-2004-0597	Heap	GIMP (libpng)	41,625,163	56.0	247	1	Yes	[61]	Yes [†]
CVE-2004-1279	Heap	jpegtoavi	67,772	0.65	26,216	1	Yes	No	-
CVE-2004-1288	Heap	o3read	74,723	0.65	33,211	1	Yes	[62]	Yes
CVE-2009-2629	Heap	nginx	300,071	1.10	28	33,824	Yes	[63]	Yes
CVE-2009-3896	Heap	nginx	283,157	1.10	59	16,821	Yes	[64]	Yes
CVE-2017-9167	Heap	autotrace	75,404	1.01	1,828	2	Yes	No	-
CVE-2018-12326	Heap	Redis	291,275	1.20	8	234	Yes	[65]	Yes
EDB-15705	Heap	ftp	260,986	0.85	19,322	2	Yes	No	-
CVE-2004-1257	Stack	abc2mtx	53,490	0.67	6,319	1	Yes	No	-
CVE-2009-5018	Stack	gif2png	90,738	1.09	1,848	1	Yes	[66]	Yes
CVE-2017-7938	Stack	dmitry	100,186	0.71	4,051	14,402	Yes	No	-
CVE-2018-12327	Stack	ntpq	374,830	1.85	122,740	77,990	Yes	[67]	Yes
CVE-2018-18957	Stack	GOOSE (libiec61850)	65,198	0.71	94	30	Yes	[68]	Yes
CVE-2019-14267	Stack	pdfresurrect	128,427	0.66	83,123	1	Yes	[69]	Yes
* EDB-47254	Stack	abc2mtx	53,490	0.67	6,566	-	Yes	No	-
EDB-46807	Stack	MiniFtp	60,849	0.69	335	107	Yes	No	-
CVE-2006-2025	Integer	GIMP (libtiff)	78,419,067	55.0	3	8	Yes	[70]	Yes
CVE-2007-2645	Integer	exif (libexif)	67,697	0.97	1	7	Yes	[71]	Yes
CVE-2013-2028	Integer	nginx	809,977	2.00	1	25,268	Yes	[72]	Yes
CVE-2017-7529	Integer	nginx	1,049,494	1.10	2	780,404	Yes	[73]	Yes
CVE-2017-9186	Integer	autotrace	75,142	1.00	1	1	Yes	No	-
CVE-2017-9196	Integer	autotrace	74,695	1.03	1	203	Yes	No	-
* CVE-2019-19004	Integer	autotrace	132,302	1.02	1	-	Yes	No	-
CVE-2017-11403	UAF	GraphicsMagick	2,316,152	4.61	38	1	Yes	[74]	Yes
CVE-2017-14103	UAF	GraphicsMagick	2,316,133	4.61	38	1	Yes	[74]	Yes
CVE-2017-9182	UAF	autotrace	132,302	1.02	296	58,058	Yes	No	-
* CVE-2019-17582	UAF	PHP (libzip)	5,980,255	6.40	49	-	Yes	[75]	Yes
CVE-2017-12858	DF	PHP (libzip)	5,980,255	6.40	51	719	Yes	[75]	Yes
* CVE-2019-19005	DF	autotrace	132,302	1.02	57,859	-	Yes	No	-
CVE-2005-0105	FS	typespeed	127,209	0.74	1	1	Yes	[76]	Yes
CVE-2012-0809	FS	sudo	108,442	0.69	1	1	Yes	[77]	Yes
Average:			4,568,619	5.07	11,722	36,804			

* New vulnerability discovered by ARCUS.

[†] Equivalent to applied patch.



**BENZENE: A Practical Root Cause Analysis System
with an Under-Constrained State Mutation**



TIPO

T	目标	实现程序崩溃的故障定位
I	输入	1个二进制程序、1个崩溃输入
P	处理	1. 通过 动态分析 二进制代码，回溯崩溃起源 2. 通过 欠约束状态变异 生成与崩溃相关但不导致崩溃的行为，并提取崩溃行为与非崩溃行为的 相似性 3. 合成崩溃条件，推断崩溃的故障定位
O	输出	1份崩溃相关代码位置的详细报告

P	问题	现有基于统计调试的方法难以产生有效非崩溃行为；符号执行有路径爆炸问题
C	条件	需要提供1个导致崩溃的原始输入
D	难点	从崩溃点到根因点的 回溯 ；生成非崩溃行为的 可用性
L	水平	IEEE Symposium on Security and Privacy, 2024(CCF A)

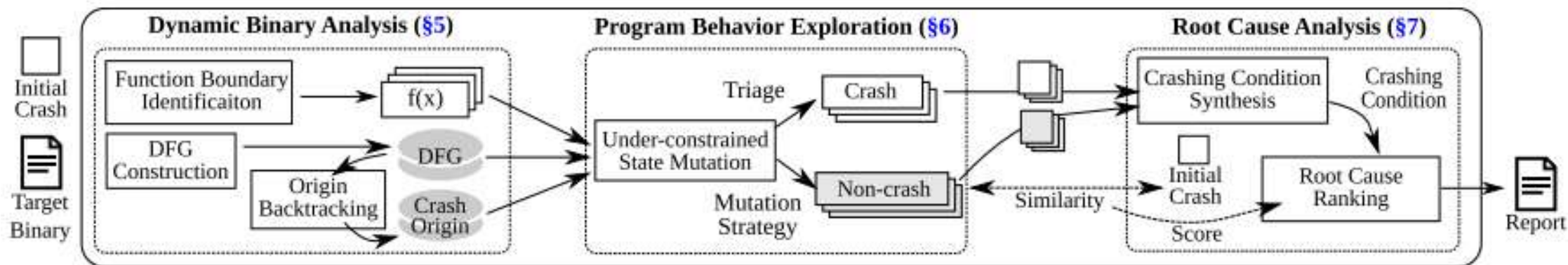
• BENZENE

– 欠约束状态变异

- 在程序运行时直接修改程序状态，以生成**崩溃相关但非崩溃**的行为，避免了对输入进行变异可能导致的**巨大开销**

– 行为相似性分析

- 引理：非崩溃行为**越接近**崩溃行为，但在关键谓词上**越明显地“矛盾”**，则越有可能揭示崩溃的根本原因
- 使用**边覆盖率**测量崩溃行为和非崩溃行为的相似性





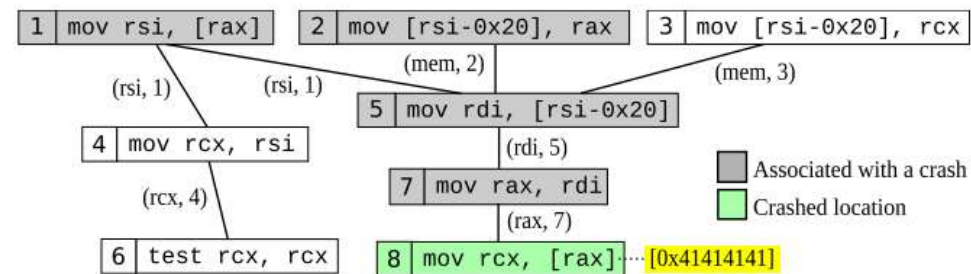
• 函数边界识别

- 利用动态分析监控程序的调用栈信息
- call 指令和ret 指令识别函数边界

• 数据流图 (DFG) 构建

- 跟踪寄存器和内存的值，建立数据依赖关系

- 每条汇编指令为一个节点，每个节点赋予唯一标识符
- 边定义为数据流，包括寄存器、内存地址和操作数
- 标记每条指令的源操作数，通过寄存器或内存地址追踪其数据来源



触发崩溃的指令

• 崩溃起源回溯

- 以崩溃点的指令为起点，沿数据流图的反向边回溯，找到相关的源节点



- 欠约束状态变异

- 对正在运行的程序指令进行修改，改变其操作数或寄存器的值，使程序能够从崩溃路径切换到非崩溃路径，生成非崩溃行为

- 变异策略

- 函数级分支

- 只变异与崩溃相关的函数

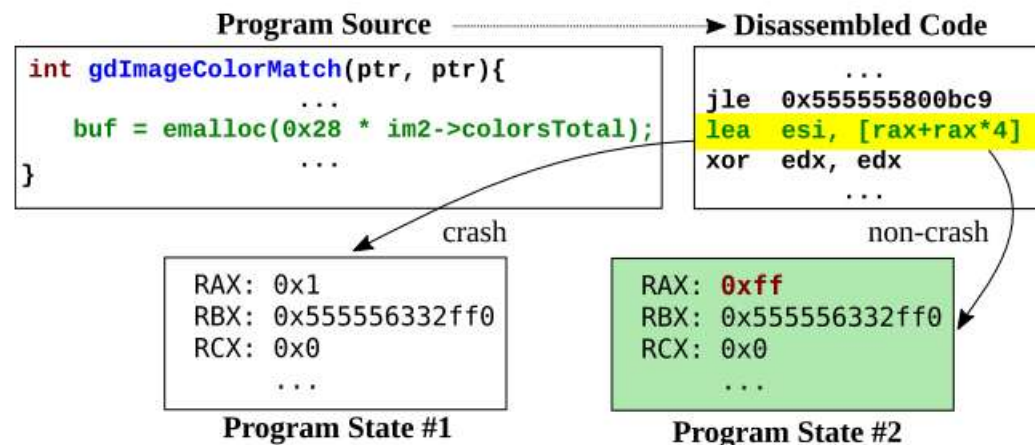
- 目标指令定位

- 只变异引用了外部值的指令源操作数

- 值集合 (Bag of Values, BoV)

- 为每个指令维护一个合理值的集合

- 合理值：从数据流图中回溯值的来源，记录观察到的历史值为合理值





- 基于PCA的相似性度量

- 收集崩溃行为与非崩溃行为的**边覆盖率矩阵**
- 通过**主成分分析 (PCA)** 降维，保留最重要的特征
- 使用**L2距离**评估非崩溃行为与初始崩溃行为的相似程度

$$d(\mathbf{p}, \mathbf{q}) = \sqrt{\sum_{i=1}^n (p_i - q_i)^2}$$

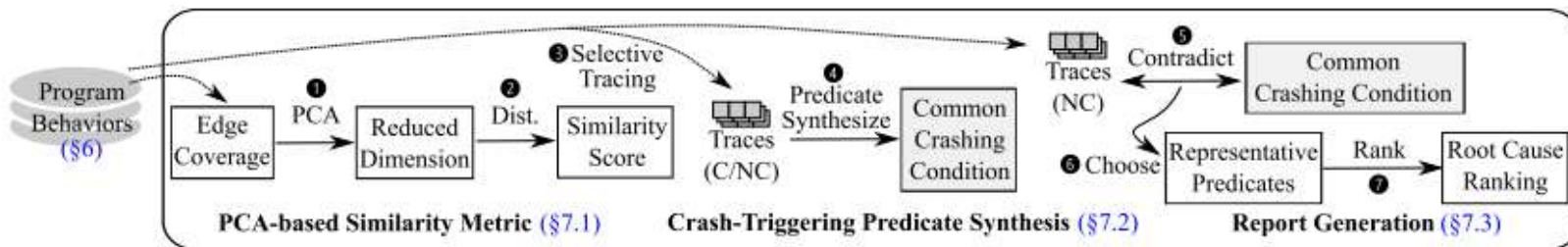
L2距离

- 触发崩溃的谓词合成

- 对最相似的Top-N个非崩溃行为进行详细追踪，从**行为差异**中提取崩溃条件
- 生成描述崩溃条件的逻辑表达式 (**谓词**)

- 报告生成

- 为每个谓词分配一个**相似性分数**，并根据排名输出可能的**故障定位列表**





数据资源

- 数据资源
 - 来自真实应用程序的**60个**漏洞
 - 涵盖**11种**漏洞类型
 - 均有开发者提供的**实际补丁**
- 评估标准
 - 采用人工检查的方式，验证谓词是否与**修复点匹配**
 - 谓词排名**前50**的任一谓词正确匹配了漏洞修复点，则认为**成功**
- 对比方法
 - 基于统计调试的方法：**AURORA**
 - 基于符号执行的方法：**ARCUS**

Target	CVE/Issue	Bug Type	# of Instructions	
01	PHP-8865	CVE-2015-8865 39	Heap Overflow	9,809,095
02	PHP-6977	CVE-2019-6977 41	Heap Overflow	12,491,703
03	mruby-0525	CVE-2022-0525 26	Heap Overflow	3,134,273
04	Poppler-12293	CVE-2019-12293 45	Heap Overflow	125,813,540
05	SoX-11358	CVE-2017-11358 52	Heap Overflow	680,855
06	TinyCC-20375	CVE-2018-20375 58	Heap Overflow	614,608
07	mruby-46020	CVE-2021-46020 25	Null Dereference	2,243,674
08	PHP-7226	CVE-2013-7226 42	Type Confusion	9,956,549
09	PHP-0273	CVE-2015-0273 43	Type Confusion	9,516,412
10	libical-11706	CVE-2019-11706 16	Type Confusion	3,975,381
11	SoX-8356	CVE-2019-8356 53	Stack Overflow	141,771,429
12	mruby-181321	hackerone-181321 29	Use After Free	13,497,624
13	PHP-2386	CVE-2012-2386 40	Integer Overflow	9,285,250
14	Poppler-7310	CVE-2019-7310 46	Integer Overflow	16,506,068
15	SQLite-13434	CVE-2020-13434 54	Integer Overflow	1,331,697
16	SQLite-16168	CVE-2019-16168 55	Division by Zero	1,338,307
17	libbfd-8393	CVE-2017-8393 14	Global Overflow	539,511
18	readelf-9077	CVE-2019-9077 49	Heap Overflow	671,011
19	objdump-9746	CVE-2017-9746 36	Heap Overflow	6,411,352
20	tcpdump-16808	CVE-2017-16808 57	Heap Overflow	1,138,487
21	perl-17384	Issue-17384 38	Heap Overflow	1,314,300
22	patch-54558	Issue-54558 10	Heap Overflow	317,534
23	mruby-12248	CVE-2018-12248 23	Heap Overflow	17,393,851
24	nasm-16517	CVE-2018-16517 31	Null Dereference	955,041
25	mruby-185041	hackerone-185041 27	Type Confusion	13,420,945
26	Python-116286	hackerone-116286 48	Type Confusion	44,778,829
27	mruby-3947	Issue-3947 28	Uninitialized Var.	25,646,156
28	PHP-11038	CVE-2019-11038 44	Uninitialized Var.	11,683,900
29	Xpdf	N/A 60	Uninitialized Var.	7,245,661
30	nm-21670	Issue-21670 33	Stack Overflow	515,784
31	mruby-10199	CVE-2018-10199 30	Use After Free	17,191,784
32	Lua-6706	CVE-2019-6706 21	Use After Free	960,676
33	nasm-8343	CVE-2019-8343 32	Use After Free	962,302
34	Sleuthkit	N/A 51	Double Free	2,463,131
35	libzip-12858	CVE-2017-12858 20	Double Free	352,871
36	Python-5636	CVE-2016-5636 47	Integer Overflow	105,414,833
37	bash	N/A 6	Integer Overflow	1,423,765
38	mruby-10191	CVE-2018-10191 24	Integer Overflow	28,965,409



性能对比结果

– 与AURORA的对比

- BENZENE

- 成功数44/46

- AURORA

- 成功数29/46

– 与ARCUS的对比

- BENZENE

- 成功数32/34

- ARCUS

- 成功数12/34

– BoV策略有效

✓: Root Cause Found, ✗: Root Cause Not Found, *: Bag of Values Contributed, ⇨: Unable to Proceed, ⊖: Out of Scope

Target (BoV)	Sanitizer	ΔRoot (%)	RCA				Target (BoV)	Sanitizer	ΔRoot (%)	RCA			
			BEN	AUR	ARC	M ²				BEN	AUR	ARC	M ²
01 PHP-8865 39	-	3,325 (<0.1%)	1	✗	⊖	✓	31 mruby-10199 30	ASAN	112,609 (0.7%)	5	25	✗	✓
02 PHP-6977 41	ASAN	132 (<0.1%)	1	✗	⊖	✓	32 Lua-6706 (*) 21	-	147 (<0.1%)	1	12	⇨	✓
03 mruby-0525 (*) 26	-	-	2	✗	⊖	✗	33 nasm-8343 32	-	457,901 (47.5%)	2	2	⇨	✓
04 Poppler-12293 45	-	1,287,909 (<0.1%)	9	✗	⊖	✓	34 Sleuthkit 51	-	483 (<0.1%)	1	5	✗	✓
05 SoX-11358 52	ASAN	79,470 (11.6%)	40	✗	⊖	✓	35 libzip-12858 20	-	46,218 (13.0%)	9	1	⇨	✓
06 TinyCC-20375 58	-	57 (<0.1%)	1	✗	⊖	-	36 Python-5636 47	-	828,077 (0.8%)	5	⊖	✗	✓
07 mruby-46020 (*) 25	-	7,249 (0.3%)	16	✗	⊖	✓	37 bash 6	-	75,418 (5.3%)	2	5	⇨	✓
08 PHP-7226 (*) 42	-	5,134 (<0.1%)	1	✗	⊖	✓	38 mruby-10191 24	-	3,251 (<0.1%)	3	35	✗	✓
09 PHP-0273 (*) 43	-	266 (<0.1%)	2	✗	⊖	✓	39 libpng-0597 18	-	4,471 (1.7%)	2	3	✓	✓
10 libical-11706 16	-	25,028 (0.6%)	19	✗	⊖	✓	40 jpegtoavi-1279 13	-	125,152 (37.6%)	1	⊖	✓	-
11 SoX-8356 53	-	4,194,431 (<0.1%)	2	✗	⊖	-	41 o3read-1288 (*) 35	-	10,859 (4.2%)	1	1	✓	✗
12 mruby-181321 29	-	2,578 (<0.1%)	11	29	✗	✓	42 autotrace-9167 3	ASAN	7,507 (0.6%)	5	(24)	✗	-
13 PHP-2386 40	-	736 (<0.1%)	3	✗	✗	✓	43 Redis-12326 50	-	8,514 (0.7%)	1	⊖	⇨	✓
14 Poppler-7310 46	ASAN	0 (0.0%)	2	8	✗	✓	44 ftp-15705 9	-	19,094 (13.1%)	3	11	⇨	-
15 SQLite-16168 54	-	15,526 (1.1%)	6	✗	⊖	✓	45 gif2png-5018 8	-	76,428 (24.7%)	1	⊖	✓	✓
16 SQLite-13434 55	-	79,416 (5.8%)	2	10	⇨	✓	46 dmitry-7938 7	-	56,330 (10.4%)	1	⊖	⇨	-
17 libbfd-8393 14	ASAN	7 (<0.1%)	1	19	⊖	✓	47 ntpq-12327 34	-	349,775 (29.2%)	1	⊖	✓	✓
18 readelf-9077 49	ASAN	917 (0.1%)	2	1	⊖	✓	48 libiec-18957 17	-	167 (<0.1%)	1	⊖	✓	✓
19 objdump-9746 36	ASAN	1,778,797 (27.7%)	3	3	⊖	✓	49 pdf-re-14267 (*) 37	-	181,576 (9.6%)	2	1	⇨	✓
20 tcpdump-16808 57	ASAN	5,341 (0.5%)	2	3	⊖	✓	50 abc2mtex-1257 2	-	28,688 (10.7%)	1	✗	✓	✓
21 perl-17384 38	ASAN	30,139 (2.3%)	9	36	⊖	✓	51 abc2mtex-47254 11	-	2,944 (1.3%)	1	⊖	✓	✓
22 patch-54558 10	ASAN	18,955 (6.0%)	4	3	⊖	✓	52 MiniFtp-46807 22	-	778 (0.3%)	1	⊖	✓	-
23 mruby-12248 23	ASAN	1,249 (<0.1%)	6	1	⊖	✓	53 GM-11403 12	ASAN	0 (0.0%)	✗	⊖	⇨	✗
24 nasm-16517 31	-	471,868 (49.4%)	1	15	⊖	✓	54 GM-14103 11	ASAN	70,009 (0.9%)	✗	⊖	⇨	✗
25 mruby-185041 27	-	1,322 (<0.1%)	✗	29	⊖	✗	55 autotrace-9182 5	-	1,512,761 (0.8%)	1	(4)	⇨	-
26 Python-116286 48	-	1,108 (<0.1%)	✗	✗	⊖	✗	56 libtiff-2025 19	-	61 (<0.1%)	3	3	⇨	✓
27 mruby-3947 28	MSAN	0 (0.0%)	8	14	⊖	✓	57 libexif-2645 15	-	400 (0.1%)	1	7	⇨	✓
28 PHP-11038 44	MSAN	1,766,918 (15.1%)	8	⊖	⊖	✓	58 autotrace-9186 4	-	794 (<0.1%)	1	(16)	✓	-
29 Xpdf (*) 60	ASAN	0 (0.0%)	1	✗	⊖	✓	59 typespeed-0105 59	-	752 (0.2%)	1	⊖	✓	✓
30 nm-21670 33	ASAN	0 (0.0%)	2	✗	⊖	✓	60 sudo-0809 56	-	339,050 (33.7%)	1	⊖	✓	✓



- 效率对比结果

- 时间开销

- BENZENE的整体时间开销更低，比AURORA快**8.1**倍，比ARCUS快**1.1**倍

- 内存占用

- BENZENE的内存占用**远低于**对比方法，是AURORA的**1/9**，是ARCUS的**1/53.7**

System	Time(sec)				Mem(MB)
	Pre+Mutation	Tracing	RCA	Total	
BENZENE	1,054	397	116	1,567	1,839
AURORA	10,643	1,621	497	12,762	16,858
Difference	10.0×	4.0×	4.2×	8.1×	9.1×
BENZENE	549	143	17	710	444
ARCUS	-	-	845	845	23,858
Difference	-	-	-	1.1×	53.7×



特点总结与未来展望



- 特点总结

- ARCUS

- 硬件级追踪，高效的崩溃路径还原，生成修复建议
 - 仅支持有限个漏洞类型

- BENZENE

- 欠约束状态变异快速生成非崩溃行为
 - 统计分析与符号执行的结合

- 未来展望

- 故障定位的**非唯一性**

- 若“根因点”定义为“需要修复的位置”，可能会出现多个候选修复点

- 现有方法缺乏单独衡量每个步骤独立性能的实验（**消融实验**）



- [1] Yagemann C, Pruett M, Chung S P, et al. {ARCUS}: symbolic root cause analysis of exploits in production systems. 30th USENIX Security Symposium (USENIX Security 21)[C]. California, CA: USENIX Association, 2021: 1989-2006.
- [2] Park Y, Lee H, Jung J, et al. Benzene: A practical root cause analysis system with an under-constrained state mutation. 2024 IEEE Symposium on Security and Privacy (SP)[C]. Piscataway, NJ: IEEE, 2024: 1865-1883.
- [3] Nishimura K, Sugiyama Y, Koike Y, et al. RCABench: Open Benchmarking Platform for Root Cause Analysis. 2023. arXiv. <https://doi.org/10.48550/arXiv.2303.05029>

知人者智，自知者明。胜人者有力，自胜者强。知足者富。强行者有志。不失其所者久。死而不亡者，寿。

谢谢!

